

エルニーニョ監視速報 (No. 379)

2024 年 3 月の実況と 2024 年 4 月～2024 年 10 月の見通し

- 昨年春から続いているエルニーニョ現象は、終息に向かっている。
- 今後春の間にエルニーニョ現象が終息して平常の状態になる可能性が高い (80%)。
- その後、夏の間にはラニーニャ現象が発生する可能性と平常の状態が続く可能性が同程度である (50%)。

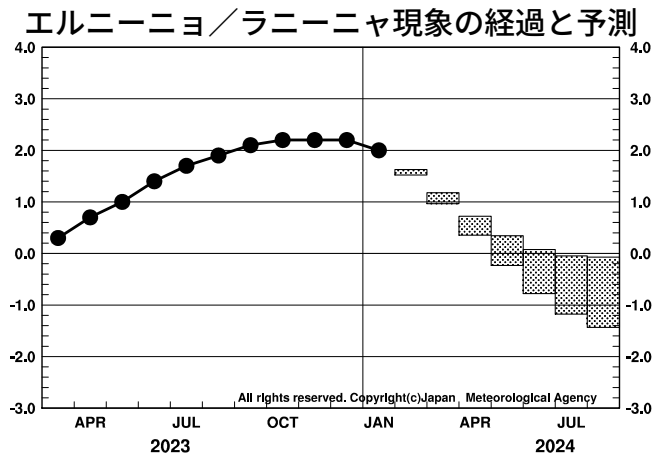


図 1 エルニーニョ監視海域の海面水温の基準値との差の 5 か月移動平均値

1 月までの経過（観測値）を折れ線グラフで、大気海洋結合モデルによる予測結果（70%の確率で入ると予想される範囲）をボックスで示している。指数が $+0.5^{\circ}\text{C}$ 以上 / -0.5°C 以下の範囲に入っている期間がエルニーニョ／ラニーニャ現象の発生期間である。エルニーニョ監視海域の海面水温の基準値はその年の前年までの 30 年間の各月の平均値。

エルニーニョ／ラニーニャ現象の発生確率

(予測期間:2024 年 2 月～2024 年 8 月)

年	月	平均期間	エルニーニョ現象	平常	ラニーニャ現象
2024 年	2 月	2023 年 12 月 ～ 2024 年 4 月	100		
	3 月	2024 年 1 月 ～ 2024 年 5 月	100		
	4 月	2024 年 2 月 ～ 2024 年 6 月	50	50	
	5 月	2024 年 3 月 ～ 2024 年 7 月	20	80	
	6 月	2024 年 4 月 ～ 2024 年 8 月	10	70	20
	7 月	2024 年 5 月 ～ 2024 年 9 月		60	40
	8 月	2024 年 6 月 ～ 2024 年 10 月		50	50

■エルニーニョ現象 □平常 ■ラニーニャ現象

図 2 5 か月移動平均値が各カテゴリー（エルニーニョ現象／平常／ラニーニャ現象）に入る確率 (%)

エルニーニョ監視海域の海面水温の基準値との差の 5 か月移動平均値が $+0.5^{\circ}\text{C}$ 以上 / -0.4°C ～ $+0.4^{\circ}\text{C}$ / -0.5°C 以下の範囲に入る確率を、それぞれ薄い灰色 / 白 / 濃い灰色の横棒の長さで月ごとに示す。気象庁の定義では、5 か月移動平均値が $+0.5^{\circ}\text{C}$ 以上 (-0.5°C 以下) の状態で 6 か月以上持続した場合にエルニーニョ (ラニーニャ) 現象の発生としているが、エルニーニョ監視速報においては速報性の観点から、実況と予測を合わせた 5 か月移動平均値が $+0.5^{\circ}\text{C}$ 以上 (-0.5°C 以下) の状態で 6 か月以上持続すると見込まれる場合に「エルニーニョ (ラニーニャ) 現象が発生」と表現している。

【解説】

エルニーニョ／ラニーニャ現象

- **3月の実況:** 昨年の春から続いているエルニーニョ現象は、終息に向かっている。3月のエルニーニョ監視海域の海面水温の基準値からの差は+1.2°Cで、2月に比べて0.6°C下がった（図3、表）。エルニーニョ現象発生判断に使用している5か月移動平均値の1月の値は+2.0°Cで、4月から10か月連続して+0.5°C以上となっている（図1、表）が、12月までの最大の+2.2°Cから下がってきた。太平洋赤道域の海面水温は中部を中心に平年より高かった（図4、図6）。太平洋赤道域の海洋表層の水温は全域で平年より低かった（図5、図7）。太平洋赤道域の日付変更線付近の対流活動は平年並で、中部太平洋赤道域の大気下層の東風（貿易風）は平年と同程度だった（図8、図9、図10）。このような海洋と大気の状態は、エルニーニョ現象時の特徴が弱まりつつあることを示している。以上から、昨年の春からエルニーニョ現象が続いているが、終息に向かっている。
- **今後の見通し:** 今後春の間にエルニーニョ現象が終息して平常の状態になる可能性が高い（80%）。その後、夏の間にはラニーニャ現象が発生する可能性と平常の状態が続く可能性が同程度である（50%）。実況では、太平洋赤道域に海洋表層の冷水（図5）が見られる。大気海洋結合モデルは、冷水の東進が続き、エルニーニョ監視海域の海面水温が次第に下降して春の間に基準値に近づくと予測している（図11）。その後、太平洋赤道域の西部～中部で貿易風が強まるとともに、中部～東部の冷水がさらに強まり、夏の間はエルニーニョ監視海域の海面水温が基準値に近い値か基準値より低い値で推移すると予測している（図11）。以上から、今後春の間にエルニーニョ現象が終息して平常の状態になる可能性が高い（80%）。その後、夏の間にはラニーニャ現象が発生する可能性と平常の状態が続く可能性が同程度である（50%）。

西太平洋熱帯域及びインド洋熱帯域の状況

- **西太平洋熱帯域:** 3月の西太平洋熱帯域の海面水温は、基準値より低い値だった（図3）。今後、春の間は基準値に近い値で推移し、夏の間は基準値に近い値か基準値より高い値で推移すると予測される。（図12）。
- **インド洋熱帯域:** 3月のインド洋熱帯域の海面水温は、基準値より高い値だった（図3）。今後、春の間は基準値より高い値で推移し、その後、次第に基準値に近づくと予測される（図13）。

3月の日本と世界の天候への影響

- **日本:** エルニーニョ現象時の特徴は明瞭には見られなかった。今後の日本の天候については、最新の季節予報を参照されたい。
- **世界:** 南米～中米、東南アジア～インド洋熱帯域、西アフリカ南部の高温と、米国南部の多雨が、エルニーニョ現象時の特徴に一致していた。

エルニーニョ／ラニーニャ現象の発生確率値（図2）と主文における見通しの表現

* エルニーニョ／ラニーニャ現象の発生や持続の見通しについては、季節単位で記述することとし、原則として、現象の発生を記述する場合はその季節の最後の月の発生確率値を、現象の持続を記述する場合はその季節の最初の月の発生確率値を用いて下表のように表現する。ただし、発生確率値の推移によってはこの原則を用いないことがある。

	発生確率			主文における表現（発生確率は例）
	エルニーニョ現象	平常	ラニーニャ現象	
エルニーニョ現象の発生（持続）	50%以上	30%以下		エルニーニョ現象が発生する（続く）可能性が高い（50%）。
	60%	40%	0%	平常の状態が続く（になる）可能性もある（40%）が、
	50%	40%	10%	エルニーニョ現象が発生する（続く）可能性の方がより高い（60%）。
	50%	50%	0%	エルニーニョ現象が発生する（続く）可能性と
	40%	40%	20%	平常の状態が続く（になる）可能性が同程度である（50%）。
	40%	50%	10%	エルニーニョ現象が発生する（続く）可能性もある（40%）が、
ラニーニャ現象の発生（持続）		30%以下	50%以上	ラニーニャ現象が発生する（続く）可能性が高い（50%）。
	0%	40%	60%	平常の状態が続く（になる）可能性もある（40%）が、
	10%	40%	50%	ラニーニャ現象が発生する（続く）可能性の方がより高い（60%）。
	0%	50%	50%	ラニーニャ現象が発生する（続く）可能性と
	20%	40%	40%	平常の状態が続く（になる）可能性が同程度である（50%）。
	10%	50%	40%	ラニーニャ現象が発生する（続く）可能性もある（40%）が、
平常の状態への移行（持続）		60%	40%	平常の状態が続く（になる）可能性の方がより高い（60%）。
	30%以下	50%以上	30%以下	平常の状態になる（が続く）可能性が高い（50%）。

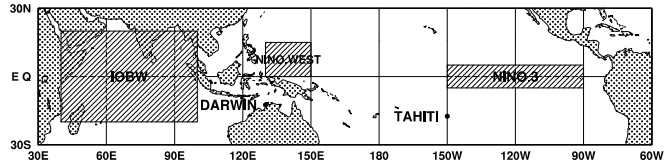
【監視・予測資料】

2024年3月における赤道域の海洋と大気の状態

1. エルニーニョ監視指数（図3、表）

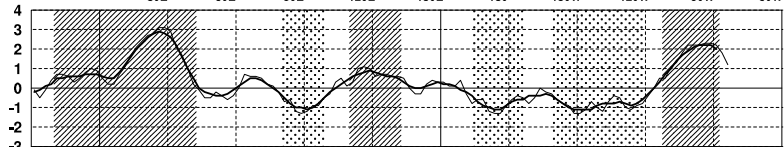
エルニーニョ監視海域の海面水温の基準値との差は $+1.2^{\circ}\text{C}$

エルニーニョ現象等監視海域
 NINO.3: エルニーニョ監視海域
 NINO.WEST: 西太平洋熱帯域
 IOBW: インド洋熱帯域



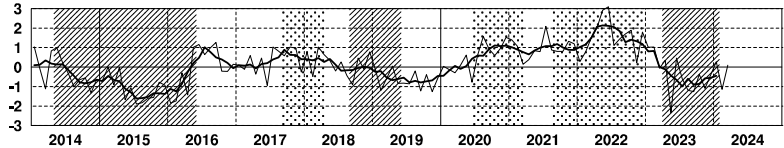
(a) エルニーニョ監視海域の海面水温の基準値*との差 ($^{\circ}\text{C}$)

NINO.3



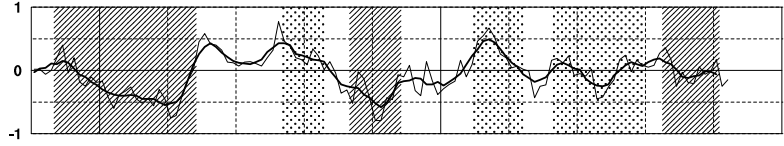
(b) 南方振動指数**

TAHITI - DARWIN



(c) 西太平洋熱帯域の海面水温の基準値*との差 ($^{\circ}\text{C}$)

NINO.WEST



(d) インド洋熱帯域の海面水温の基準値*との差 ($^{\circ}\text{C}$)

IOBW

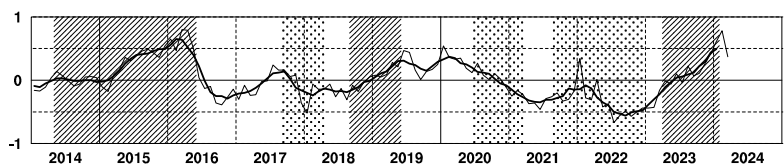


図3 各監視指数の最近10年間の経過

折線は月平均値、滑らかな太線は5か月移動平均値を示す。濃い陰影はエルニーニョ現象の発生期間を、淡い陰影はラニーニャ現象の発生期間を示している。

* 基準値は、その年の前年までの30年間の各月の平均値（(c) 西太平洋熱帯域、(d) インド洋熱帯域では、30年間の変化傾向による上昇分を加えている）。

** 南方振動指数はタヒチとダーウィン（TAHITIとDARWIN; 上図に位置を示した）の地上気圧の差を指数化したもので、貿易風の強さの目安の1つであり、正（負）の値は貿易風が強い（弱い）ことを表している。指数の算出に用いた気圧の平年値は1991～2020年の30年平均値。

表 エルニーニョ監視海域の海面水温と南方振動指数の最近1年間の値

5か月移動平均値の下線部は $+0.5^{\circ}\text{C}$ 以上となった月を、斜字体は -0.5°C 以下となった月を示す。

海面水温と南方振動指数の最新月は速報値である。

	2023年										2024年		
	4月	5月	6月	7月	8月	9月	10月	11月	12月	1月	2月	3月	
月平均海面水温 ($^{\circ}\text{C}$)	28.1	28.2	27.9	27.6	27.3	27.1	27.2	27.3	27.4	27.7	28.1	28.4	
基準値との差 ($^{\circ}\text{C}$)	+0.5	+1.1	+1.3	+1.8	+2.2	+2.2	+2.2	+2.3	+2.3	+2.2	+1.8	+1.2	
5か月移動平均 ($^{\circ}\text{C}$)	<u>+0.7</u>	<u>+1.0</u>	<u>+1.4</u>	<u>+1.7</u>	<u>+1.9</u>	<u>+2.1</u>	<u>+2.2</u>	<u>+2.2</u>	<u>+2.2</u>	<u>+2.0</u>			
南方振動指数	+0.3	-2.3	+0.5	-0.6	-1.2	-1.3	-0.4	-1.1	-0.4	+0.3	-1.1	+0.1	

2. 海洋 (図4~図7)

太平洋赤道域の海面水温は、中部を中心に平年より高い

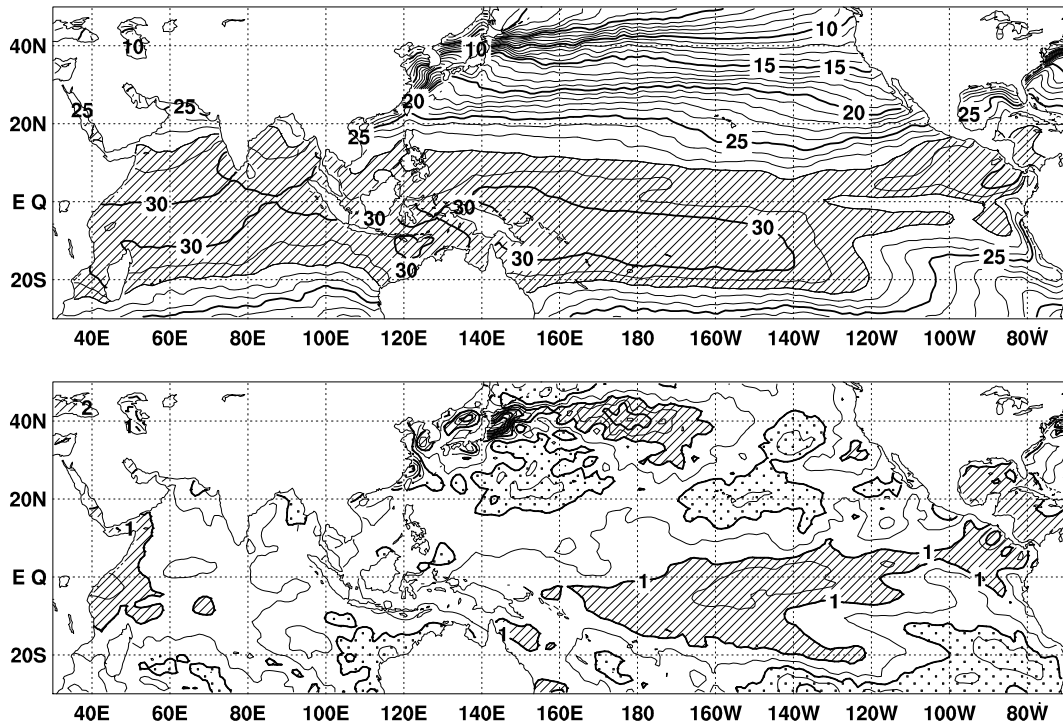


図4 2024年3月の海面水温図(上)及び平年偏差図(下)

海面水温図の太線は5°C毎、細線は1°C毎の、平年偏差図の太線は1°C毎、細線は0.5°C毎の等値線を示す。海面水温図の陰影部は28°C以上の領域を示し、偏差図の濃い陰影部は海面水温が平年値より1°C以上高い領域を、淡い陰影部は平年値より低い領域を示す(平年値は1991~2020年の30年平均値)。

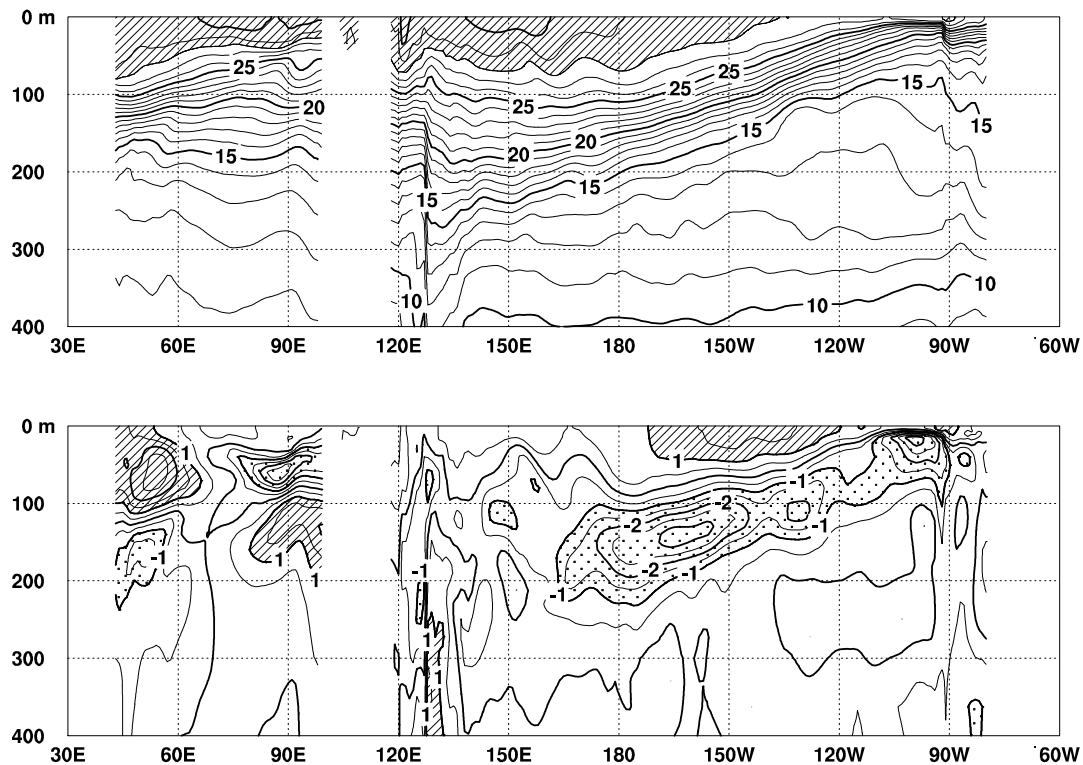


図5 2024年3月のインド洋から太平洋の赤道に沿った水温(上)及び平年偏差(下)の断面図

上図は太線が5°C毎、細線が1°C毎の等値線を示し、28°C以上には陰影を施した。下図は太線が1°C、細線が0.5°C毎の等値線を示し、水温が平年値より1°C以上高い(低い)領域には濃い(淡い)陰影を施した(平年値は1991~2020年の30年平均値)。図中等値線を引いていない部分は陸地である。

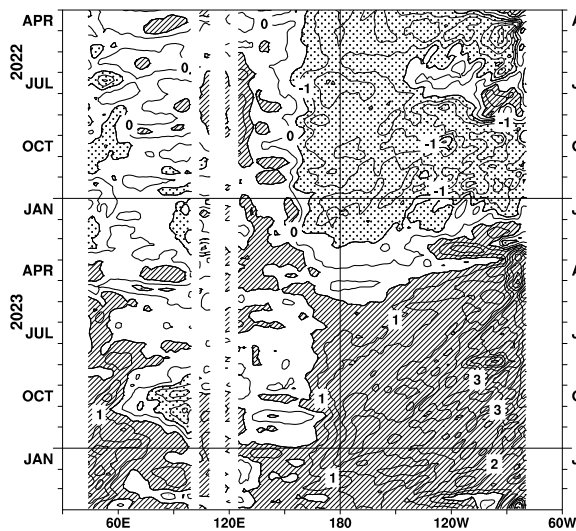


図 6 インド洋から太平洋の赤道に沿った海面水温年平均偏差の経度-時間断面図

太線は 1°C 毎、細線は 0.5°C 毎の等値線を示し、海面水温が平年値より 0.5°C 以上高い（低い）領域には濃い（薄い）陰影を施した（平年値は 1991~2020 年の 30 年平均値）。図中等値線を引いていない部分は陸地である。

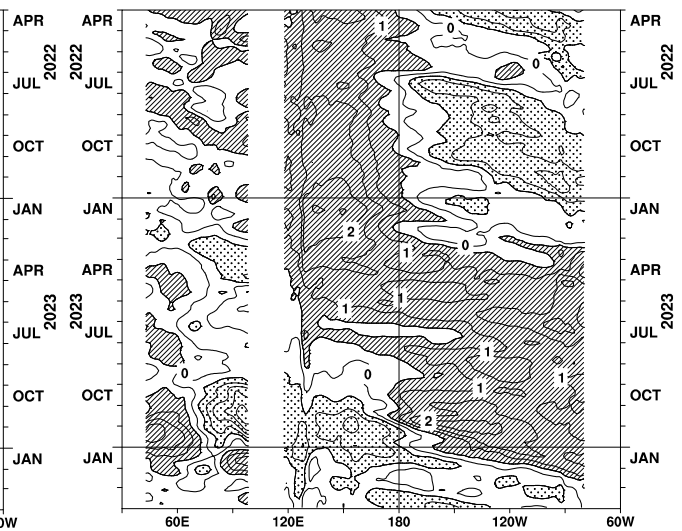


図 7 インド洋から太平洋の赤道に沿った海面から深度 300m までの平均水温年平均偏差の経度-時間断面図

太線は 1°C 毎、細線は 0.5°C 毎の等値線を示し、平均水温が平年値より 0.5°C 以上高い（低い）領域には濃い（薄い）陰影を施した（平年値は 1991~2020 年の 30 年平均値）。図中等値線を引いていない部分は陸地である。

3. 大気 (図 8~図 10)

中部太平洋赤道域の大気下層の東風（貿易風）は平年と同程度

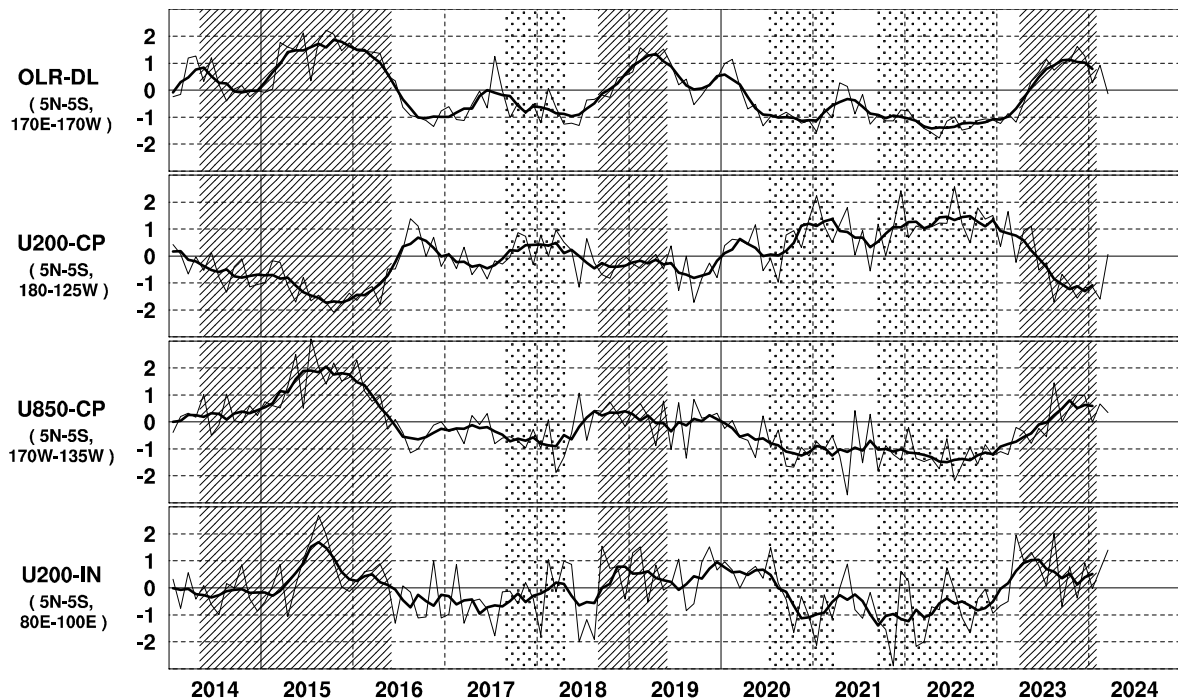


図 8 日付変更線付近の OLR 指数 (OLR-DL)、対流圏上層 (200hPa) の赤道東西風指数 (U200-CP)、対流圏下層 (850hPa) の赤道東西風指数 (U850-CP)、インド洋における対流圏上層 (200hPa) の赤道東西風指数 (U200-IN) の時系列 (上から順に)

折線は月平均値、滑らかな太線は 5 か月移動平均値を示す（平年値は 1991~2020 年の 30 年平均値）。エルニーニョ現象の発生期間に濃い陰影を、ラニーニャ現象の発生期間に薄い陰影を施した。OLR データは米国海洋大気庁 (NOAA) から提供されたものである。令和 5 年 10 月 11 日発表のエルニーニョ監視速報 (No.373) より新しいデータに切り替えた。

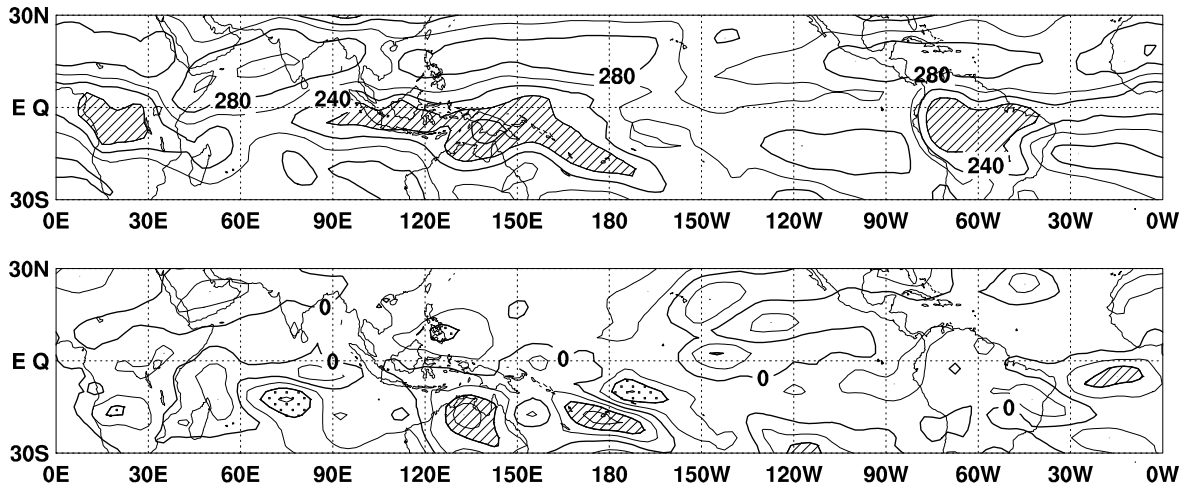


図9 外向き長波放射量 (OLR) (上) 及び年偏差 (下) の分布図 (2024年3月)

OLRの値が小さいほど、対流活動が活発であることを示しており、上図では 220W/m^2 以下の領域に陰影を、下図では OLR が年偏差より 20W/m^2 以上少ない (多い) 領域に濃い (薄い) 陰影を施した (年偏差は 1991~2020 年の 30 年平均値)。上図は 20W/m^2 毎、下図は 10W/m^2 毎に等値線を描いている。OLR データは米国海洋大気庁 (NOAA) から提供されたものである。令和 5 年 10 月 11 日発表のエルニーニョ監視速報 (No.373) より新しいデータに切り替えた。

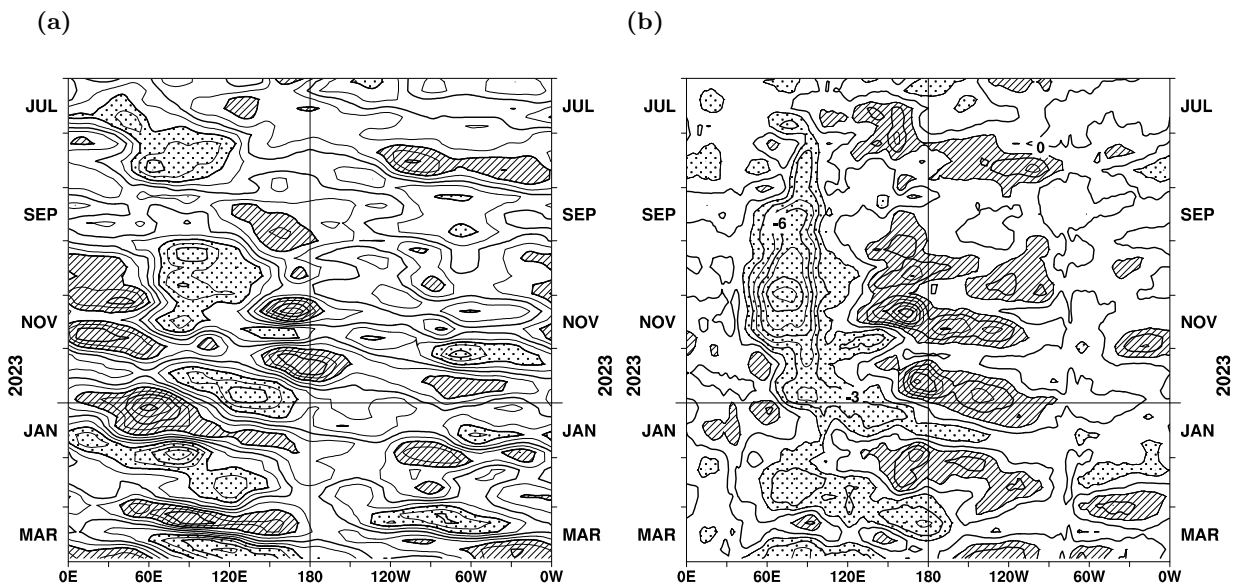


図10 赤道付近における対流圏上層 (200hPa) の速度ポテンシャルの年偏差 (a) 及び対流圏下層 (850hPa) の東西風速の年偏差 (b) の経度-時間断面図

(a) 等値線の間隔は $2 \times 10^6 \text{m}^2/\text{s}$ で、年偏差よりも $4 \times 10^6 \text{m}^2/\text{s}$ 以上発散が強い (弱い) 領域に濃い (薄い) 陰影を施している。(b) 等値線の間隔は 1.5m/s で、年偏差よりも 1.5m/s 以上西風 (東風) が強い領域には濃い (薄い) 陰影を施している (両者の年偏差は 1991~2020 年の 30 年平均値)。

2024 年 4 月～2024 年 10 月の海面水温予測 (大気海洋結合モデルによる)

エルニーニョ監視海域の海面水温は、次第に下降して春の間に基準値に近づき、夏の間は基準値に近い値か基準値より低い値で推移すると予測

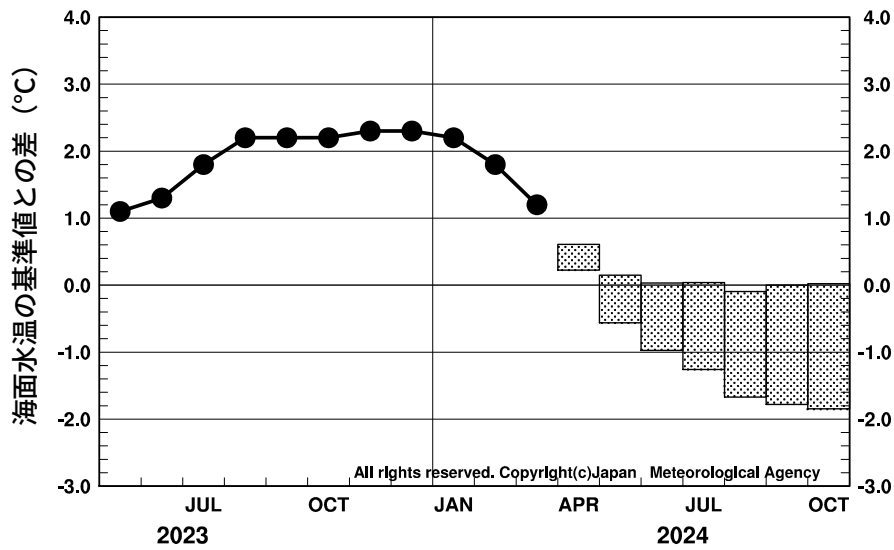


図 11 エルニーニョ監視海域の月平均海面水温の基準値との差の先月までの経過（折れ線グラフ）と大気海洋結合モデルから得られた今後の予測（ボックス）

各月のボックスは、海面水温の基準値との差が 70% の確率で入る範囲を示す。

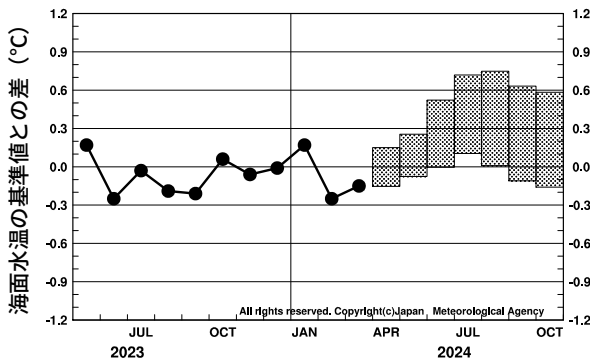


図 12 西太平洋熱帯域の月平均海面水温の基準値との差の先月までの経過（折れ線グラフ）と大気海洋結合モデルから得られた今後の予測（ボックス）

各月のボックスは、海面水温の基準値との差が 70% の確率で入る範囲を示す。

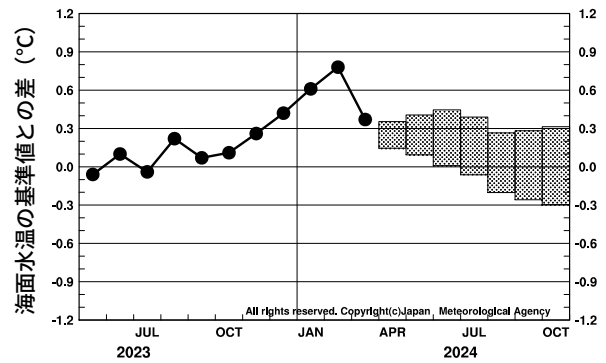


図 13 インド洋熱帯域の月平均海面水温の基準値との差の先月までの経過（折れ線グラフ）と大気海洋結合モデルから得られた今後の予測（ボックス）

各月のボックスは、海面水温の基準値との差が 70% の確率で入る範囲を示す。

エルニーニョ現象などの情報は気象庁ホームページでもご覧になれます。

(<https://www.data.jma.go.jp/cpd/elnino/>)

来月の発表は、5月10日14時の予定です。

内容に関する問合せ先：気候情報課

(電話 03-6758-3900 内線 4546)